

## ШУМЫ ДЕТЕКТОРА ПРИ БОЛЬШИХ УРОВНЯХ НЕСУЩЕЙ

В. Н. Бельдюгин, В. А. Арбузников

Одесса

Для параметрических схем типа «модулятор — демодулятор» представляет интерес анализ и расчет шумов детектора, когда на него подается сигнал с большим уровнем несущей, но малой глубиной модуляции. Практически можно ограничиться рассмотрением шумов такого детектора при отсутствии модуляции.

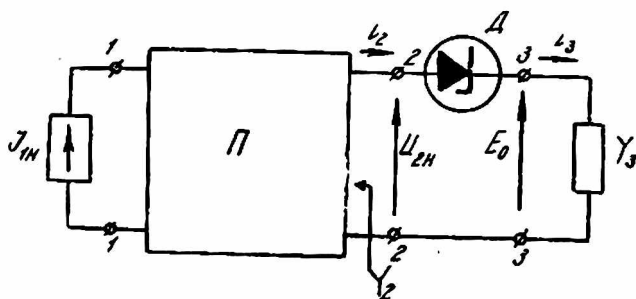


Рис. 1.

На рис. 1 приведена схема детектора. В левой части изображен источник сигнала частоты  $\omega$  с выходной проводимостью  $Y_1$ , не равной  $\infty$  лишь в диапазоне частот от  $\omega$  до  $\omega \pm \Omega_b$ . Проводимость нагрузки детектора отлична от  $\infty$  только в диапазоне частот  $0 - \Omega_b$ .

Используя методику, предложенную в работах [1 и 2], можно представить детектор в виде двух эквивалентных схем: нелинейной для частоты несущей и параметрической для остальных частот. Чтобы вычислить собственные шумы, достаточно рассмотреть вторую эквивалентную схему, представленную на рис. 2. Здесь  $i_{ш.д}$  — ток шумового генератора, учитывающего собственные шумы детектора в результате флуктуаций тока частоты несущей и проводимости  $n - p$ -перехода. Рассчитаем шумы схемы рис. 2.

Пусть в момент времени  $t_i$  протекающий через детектор ток вследствие неравномерности дрейфа дырок или электронов через переход получил импульсное приращение  $\delta_i$ , малое по величине и длительности, так как дробовой шум детектора имеет равномерный спектр с нормально распределенными случайными амплитудами и фазами отдельных его составляющих. Тогда между зажимами детектора возникает импульс тока, равный нулю при  $t \neq t_i$ . Такой импульс обладает равномерным спектром.

каждая составляющая которого в малой полосе  $\Delta\omega$  описывается эквивалентной гармонической функцией

$$i_{\text{ш}} = \delta J_{\text{ш}} \cos \omega_n (t - t_i), \quad (1)$$

в которой эквивалентная амплитуда тока  $\delta J_{\text{ш}} = \text{const}$  и не зависит от частоты.

Следовательно, в бесконечно малом промежутке частот на частотах  $\Omega$ ,  $\omega_n + \Omega$  и  $\omega_n - \Omega$  через детектор протекнут токи:

$$\begin{aligned} i_{\Omega} &= \sigma J_{\text{ш}} \cos \Omega (t - t_i); \\ i_{+} &= -c J_{\text{ш}} \cos (\omega_n + \Omega) (t - t_i); \\ i_{-} &= -\sigma J_{\text{ш}} \cos (\omega_n - \Omega) (t - t_i). \end{aligned}$$

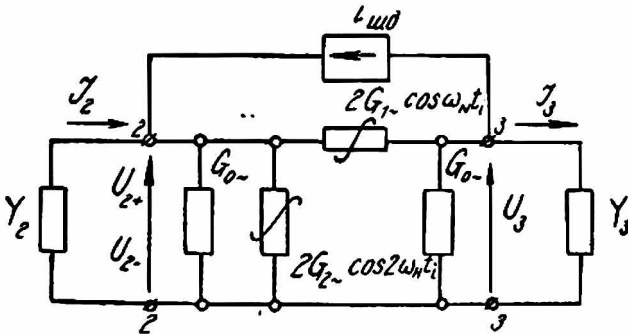


Рис. 2.

Суммируя токи  $i_{+}$  и  $i_{-}$

$$\begin{aligned} i_{+} + i_{-} &= 2\sigma J_{\text{ш}} \cos \Omega (t - t_i) \cos \omega_n t_i \cos \omega_n t + \\ &+ 2\delta J_{\text{ш}} \cos \Omega (t - t_i) \sin \omega_n t_i \sin \omega_n t; \end{aligned}$$

находим, что амплитуды синфазной  $J_{2\tau}$  и квадратурной  $J_{2n}$  составляющих шумовых токов частоты  $\omega_n$  относительно напряжения  $U_{2\text{в}}$  несущей на входе детектора равны

$$\begin{aligned} J_{2\tau} &= -2\delta J_{\text{ш}} \cos \omega_n t_i \cos \Omega (t - t_i); \\ J_{2n} &= -2\delta J_{\text{ш}} \sin \omega_n t_i \cos \Omega (t - t_i). \end{aligned} \quad (2a)$$

Тогда на основании формул (18) и (19) работы [2] получим мгновенное значение тока короткого замыкания шумов с частотой  $\Omega$  на выходе детектора

$$\begin{aligned} i_{\text{кз}} &= \sigma J_{\text{ш}} \{ \cos \Omega (t - t_i) - 2 |K_{3\tau}| \cos \omega_n t_i \cos [\Omega (t - t_i) + \\ &+ \varphi_{\tau}] - 2 |K_{3n}| \sin \omega_n t_i \cos [\Omega (t - t_i) + \varphi_n] \}, \end{aligned} \quad (3)$$

где  $K_{3\tau}$  и  $K_{3n}$  — отношения амплитуд токов с частотой  $\Omega$  на выходе детектора к амплитудам токов синфазного и квадратурного относительно напряжения несущей  $u_{2\text{в}}$ , протекающих на входе детектора с частотой  $\omega_n$ . Возведя (3) в квадрат и обозначив

$$\begin{aligned} a_0 &= 1 + 2 [ |K_{3\tau}|^2 + |K_{3n}|^2 ]; \\ a_1 &= 4 |K_{3\tau}| \cos \varphi_{\tau}; \\ a_2 &= 2 ( |K_{3\tau}|^2 - |K_{3n}|^2 ); \\ b_1 &= 4 |K_{3n}| \sin \varphi_n; \\ b_2 &= 4 |K_{3\tau}| |K_{3n}| \cos (\varphi_{\tau} - \varphi_n), \end{aligned} \quad (4)$$

получим значение квадрата амплитуды тока короткого замыкания частоты  $\Omega$

$$J_{кз}^2(t_i) = \sigma J_{ш}^2 [a_0 - a_1 \cos \omega_n t_i - b_1 \sin \omega_n t_i + a_2 \cos 2\omega_n t_i + b_2 \sin 2\omega_n t_i]. \quad (5)$$

Так как дробовой шум, вызванный протеканием через детектор постоянного тока, является процессом эргодическим, то, согласно работам [3 и 4],

$$\overline{\delta J_{ш}^2} = m(0) \delta J_{ш}^2 = 4kT A \Delta f = 4kT [S + 20|i_d|] \Delta f,$$

где  $|i_d|$  — абсолютное значение тока, протекающего через детектор;

$S$  — крутизна вольт-амперной характеристики детектора в рабочей точке.

В нашем случае через детектор протекает периодический пульсирующий с частотой  $\omega_n$  ток (см. рис. 1), следовательно,  $S(t)$  и  $i_d(t)$  — периодические функции времени той же частоты. Если они заменяются со временем частотой значительно меньшей, чем верхняя сторона спектра дробового шума, то

$$\sigma J_{ш}^2 \neq m(0) \delta J_{ш}^2 = 4kT A(t_i) \Delta f. \quad (6)$$

Здесь  $t_i$  — момент времени в том случае, когда мы берем среднеквадратичную по ансамблю реализацию  $\delta J_{ш}$ . Согласно работе [4].

$$A(t_i) = S(t_i) + 20|i_d(t_i)|. \quad (7)$$

При частоте изменения  $A(t_i)$ , сравнимой с верхней частотой дробового шума, следует учитывать зависимость спектральной плотности дробового шума от частоты по формуле (2.2) из работы [3]. Учитывая выражение (5), умноженное на  $m(0)$ ,

$$m(0) J_{кз}^2(t_i) = (a_0 - a_1 \cos \omega_n t_i - b_1 \sin \omega_n t_i + a_2 \cos 2\omega_n t_i + b_2 \sin 2\omega_n t_i) m(0) \delta J_{ш}^2$$

и разлагая  $A(t_i)$  в ряд Фурье по частотам значения  $\omega_n$  из формулы (6), получим

$$m(0) J_{кз}^2(t_i) = 4kT (a_0 - a_1 \cos \omega_n t_i - b_1 \sin \omega_n t_i + a_2 \cos 2\omega_n t_i + b_2 \sin 2\omega_n t_i) (A_0 - A_1 \cos \omega_n t_i + A_2 \cos 2\omega_n t_i + \dots) \Delta f. \quad (8)$$

Найдем квадрат эффективного значения амплитуды тока короткого замыкания шумов с частотой  $\Omega$  на выходе детектора. Для этого надо усреднить  $m(0) J_{кз}^2(t_i)$  во времени, учитывая, что это произведение является периодической функцией частоты  $\omega_n$ ; достаточно найти его среднее значение за период  $\frac{2\pi}{\omega_n}$ . Заменив в формуле (8) переменную  $\omega_n t_i$  на  $\varphi_{нi}$  и проинтегрировав (8) от  $-\pi$  до  $\pi$ , получим искомое

$$\Delta J_{эф. к. з}^2 = 4kT \Delta f \frac{1}{2\pi} \int_{-\pi}^{\pi} (A_0 - A_1 \cos \varphi_{нi} + A_2 \cos 2\varphi_{нi} + \dots) \times (a_0 - a_1 \cos \varphi_{нi} - b_1 \sin \varphi_{нi} + a_2 \cos 2\varphi_{нi} + b_2 \sin 2\varphi_{нi}) d\varphi_{нi}. \quad (9)$$

Проводя интегрирование и подставляя в выражение (9) значения величин из (4), получаем

$$\Delta J_{эф. к. з}^2 = 4kT \Delta f \{ A_0 + (2A_0 - A_1) |k_{3\tau}|^2 - 2A_1 |K_{3\tau}| \cos \varphi_{\tau} + 2(A_0 - A_2) |K_{3\pi}|^2 \}. \quad (10)$$

Найдем квадрат эффективного значения тока короткого замыкания во всей полосе пропускания нагрузки детектора, т. е. от 0 до  $\Omega_b$ , для чего проинтегрируем формулу (10) в этой полосе

$$J_{\text{эф. к. з.}}^2 = \frac{4kT}{2\pi} \int_0^{\Omega_b} \Delta J_{\text{эф. к. з.}}^2 d\Omega. \quad (11)$$

Отметим, что  $K_{3\tau}$  и  $K_{3n}$  являются функциями частоты огибающей, т. е.  $\Omega$ .

Аналогичным приемом найдем квадраты эффективных значений амплитуд огибающих токов, синфазного и квадратурного к напряжению несущей  $U_{2н}$  на входе детектора  $J_{2\tau}^2$  и  $J_{2n}^2$ , а также квадрат амплитуды эффективного значения напряжения низкой частоты на нагрузке детектора от собственных шумов  $\Delta U_3^2$

$$J_{2\tau}^2 = 4kT \left( A_0 + \frac{1}{2} A_2 \right) \Delta f;$$

$$J_{2n}^2 = 4kT \left( A_0 - \frac{1}{2} A_2 \right) \Delta f;$$

$$\Delta U_3^2 = 4kT [A_0 |Z_3|^2 - 2A_1 |Z_{3\tau}| |Z_3| \cos |\varphi_3 - \varphi_{\tau}| + (2A_0 + A_2) |Z_{3\tau}|^2 + (2A_0 - A_2) |Z_{3n}|^2] \Delta f, \quad (12)$$

где в соответствии с (16.121) и (16.130) работы [4]

$$A_0 = G_{0\sim} + 20 J'_{0\sim};$$

$$A_1 = 2G_{1\sim} + 20 J'_{1\sim}; \quad (13)$$

$$A_2 = 2G_{2\sim} + 20 J'_{2\sim}.$$

Здесь  $G_{0\sim}$ ,  $G_{1\sim}$  и  $G_{2\sim}$  определяются, согласно выражениям (24) и (25) работы [1].  $J'_{n\sim}$  — амплитуды гармоник разложения в ряд Фурье абсолютных значений  $i_n$ . Если пренебречь токами обратной ветви характеристики детектора, то амплитуды токов  $J'_{n\sim}$  совпадают с амплитудами гармоник токов несущей, протекающих через детектор.

В формуле (12) также обозначено, согласно формулам (15), (16) и (20) [2],

$$\dot{Z}_3 = \frac{U_3}{J_2} \Big|_{j_{2\tau}=0}^{j_{2n}=0}, \quad Z_{3\tau} = \frac{U_3}{J_{2\tau}} \Big|_{j_{2n}=0}^{j_3=0}, \quad Z_{3n} = \frac{U_3}{J_{2n}} \Big|_{j_{2\tau}=0}^{j_3=0}. \quad (14)$$

В качестве примера применения представленных соотношений для анализа шумовых свойств детектора аппроксимирована ломаной без учета обратной ветви, а для нагрузки выполняется условие  $SR_3 > 50$ . Тогда, в соответствии с (6.33), (6.34) и (6.105) работы [4],

$$G_{0\sim} = \frac{S}{\pi} \theta \approx G_{\sim} = \frac{S}{\pi} \sin \theta \approx G_2 =$$

$$= \frac{S}{\pi} \sin \theta \cos \theta \approx G_t = \sqrt{\frac{3}{\pi} S^2 G_3}; \quad (15)$$

$$G_{\text{вх}} = \frac{1}{R_{\text{вх}}} = \frac{S}{\pi} (\theta - \sin \theta \cos \theta) = G_{0\sim} - G_{2\sim} \approx \frac{2G_t G_3}{G_0 + G_3} = K_0 G_3 \approx 2G_3,$$

а также

$$J'_0 = J_{0\sim} = U_{2н} K_0 G_3;$$

$$J'_{1\sim} = J_{1\sim} = U_{2н} G_{\text{вх}}; \quad (16)$$

$$I'_{2\sim} = I_{2\sim} = U_{2н} K_{\partial} \frac{2}{3} (G_3 + G_{вх}).$$

Если в рассматриваемом диапазоне выполняется условие

$$Y_{2+} = Y_{2-}^* \approx G_3 = G_2 + G_{0\sim} - G_{2\sim}, \quad (17)$$

$$Y_3 = G_3,$$

то в соответствии с работой [2]

$$Z_{3\tau} = \frac{K_{\partial}}{G_2 + G_{вх}};$$

$$Z_{3n} = 0;$$

$$Z_3 = \frac{G_2 + G_{0\sim} + G_{2\sim}}{(G_3 + G_i)(G_2 + G_{вх})}; \quad (18)$$

$$K_{\partial} = \frac{G_i}{G_i + G_3}.$$

Подставляя выражение (16) в (13), а последнее в (12), получим

$$J_{\text{эф.}\tau}^2 = 4kT [2G_i + 20U_{2н} K_{\partial} 2G_3] \Delta f; \quad (19)$$

$$J_{\text{эф.}n}^2 = 4kT \frac{G_3}{G_i} \left[ 2G_i + 20U_{2н} K_{\partial} \frac{2}{3} G \right] \Delta f$$

и, взяв отношение  $J_{\text{эф.}\tau}^2$  к  $J_{\text{эф.}n}^2$ , убеждаемся, что

$$J_{\text{эф.}\tau}^2 \gg J_{\text{эф.}n}^2,$$

а

$$\begin{aligned} \frac{J_{\text{эф.}\tau}^2}{J_{\text{эф.}n}^2} &= \frac{G_i}{G_3} \left[ 1 + 2 \frac{20U_{2н} K_{\partial}}{3 \frac{G_i}{G_3} + 20U_{2н} K_{\partial}} \right] \approx \\ &\approx \sqrt[3]{\frac{3}{\pi} (SR)^2} \left[ 1 + 2 \frac{20U_{2н} K_{\partial}}{\sqrt{\frac{3}{\pi} (SR)^2 + 20U_{2н} K_{\partial}}} \right]. \end{aligned} \quad (20)$$

Схематически  $J_{\text{эф.}\tau}^2$  и  $J_{\text{эф.}n}^2$  изображены на рис. 3.

Подставляя выражение (16) и (17) в (20), после преобразования и упрощения получим

$$U_{\text{эф.}3}^2 \approx 4kT |Z_{3\tau}|^2 G_2^2 \sqrt[3]{\frac{\pi^2}{3S^2}} \left( \frac{1}{3 \frac{1}{\sqrt{G_n}}} + 20U_{2н} \sqrt{\frac{\pi^2 G_3}{3S^2}} \right) \Delta f. \quad (21)$$

Учитывая, что квадрат напряжения сигнала на выходе пропорционален  $|Z_{3\tau}| J_{2c}^2$ , отношение квадратов эффективного значения сигнал — шум

$$\frac{U_{3c}^2}{U_{3ш}^2} = \text{const} \left[ G_2^2 \left( \frac{1}{3 \frac{1}{\sqrt{G_n}}} + 20U_{2н} \sqrt{\frac{\pi^2 G_3}{3S^2}} \right) \right]^{-1}. \quad (22)$$

Как следует из формулы (22), отношение  $\frac{U_{3c}^2}{U_{3ш}^2}$  увеличивается с уменьшением  $G_2$  и при заданных  $S$  и  $U_{2н}$  достигает максимального значения

$$\frac{U_{3c}^2}{U_{3ш}^2} = \frac{\sqrt{3} \cdot J_{2c}^2}{8kT\pi G_2^2} \cdot \frac{S}{\sqrt{20U_{2н}}} \quad (23)$$

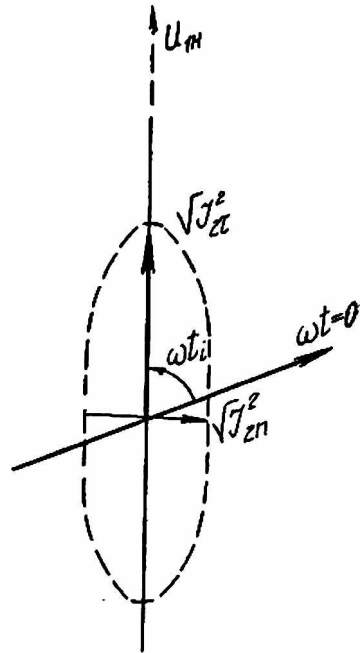


Рис. 3.

при

$$\frac{1}{G_3} = (20U_{2н})^2 \frac{\pi}{\sqrt{3} \cdot S} \quad (24)$$

и становится тем больше, чем больше  $S\Delta U_{3ш}^2$  в этом случае

$$\Delta U_{3ш}^2 = 4kT |Z_{3т}|^2 2G_2^2 \frac{\pi}{S} \sqrt{\frac{20U_{2н}}{3}}. \quad (25)$$

Аналогично при аппроксимации характеристики детектора экспонентой можно найти при заданных  $G_2$ ,  $S$  и  $G_3$  оптимальную амплитуду несущей  $U_{2н}$ .

Итак, по формуле (24) выбирается оптимальная с точки зрения отношения сигнал — шум нагрузка детектора. При этом по формуле (23) определяется максимальная величина этого отношения. Предполагается, что детектирование линейное и от этого не улучшается отношение сигнал — шум при уменьшении  $U_{2н}$ , правда, до тех пор, пока детектирование не перестанет быть линейным.

В заключение отметим, что предполагаемая методика позволяет считать добавляемые детектором шумы в очень важном классе схем типа «модулятор — демодулятор», который широко применяется для улучшения чувствительности различных усилительных устройств, например, параметрических видеоусилителей, усилителей постоянного тока и т. п.

#### ЛИТЕРАТУРА

1. В. А. Арбузников, В. Н. Бельдюгин. Матричное уравнение усилительной схемы типа «модулятор — демодулятор». Труды конференции, посвященной 70-летию изобретения радио. Изд-во «Техника», К., 1966.
2. В. А. Арбузников, В. Н. Бельдюгин. Детектирование колебаний при слабой модуляции. Сб. «Вопросы электросвязи». Изд-во «Техника», К., 1967.
3. Ван Дер Зила. Флуктуация в радиотехнике и физике. Госэнергоиздат, 1958.
4. Л. С. Гуткин, В. Л. Лебедев, В. И. Сифонов. Радиоприемные устройства, ч. 1. Изд-во «Советское радио», 1961.